



Raport

z badań poziomu natężenia pola elektrycznego
w otoczeniu stacji bazowej:

KOL0007

na podstawie sprawozdania U-012/22/G.SB.337.2.1 udostępnionego przez TELE-COM Sp. z o.o.

Laboratorium prowadzące badania

TELE-COM Sp. z o.o.

ul. Jawornicka 8

60-968 Poznań

61 868 56 52

laboratorium@tele-com.poznan.pl

Zleceniodawca badań

P4 Sp. z o.o.

Wynalazek 1

02-677 Warszawa

790 500 500

kontakt@play.pl

Nr akredytacji: AB 529

Data wydania sprawozdania: 07.02.2024

Raport zawiera wybrane elementy sprawozdania i służy wyłącznie obrazowemu przedstawieniu informacji o danej instalacji. Raport nie może być wykorzystywany w postępowaniach administracyjnych.

Informacje ogólne

Zgodność z metodyką RMK: Tak

Ograniczenia: Na podstawie art. 122a ust. 1b ustawy Prawo ochrony środowiska (t.j. Dz.U. z 2020 r., poz. 1219, 1378, 1565, 2127, 2338, z 2021 r. poz. 802, 868, 1047, 1162, 1535.), pomiary PEM w lokalach mieszkalnych i użytkowych zlokalizowanych w obszarze pomiarowym badanej stacji bazowej nie zostały przeprowadzone.

Wykorzystanie w obszarze regulowanym: Tak

Przedmiot badań

Identyfikator stacji w UKE	KOL0007
Operator	P4 Sp. z o.o.
Współrzędne	15,5528380; 54,1622000
Rodzaj pracy	ciągła
Rodzaj wytwarzanego pola	stacjonarne

Miejsce badań

Otoczenie stacji bazowej KOL0007 w lokalizacji Kołobrzeg, Obozowa 5.

Cel badań

1. Zweryfikowanie zgodności z wymaganiami rozporządzenia Ministra Zdrowia z dnia 19 grudnia 2019 r.

Opis stacji bazowych

Tabela 1: Opis anten badanych stacji bazowych

Lp.	Identyfikator stacji w UKE	Typ Producent anteny	Azymut	H	EIRP	Pasma	Tilt	Tilt w trakcie pomiarów
			[°]	[m]	[W]	[MHz]	[°]	[°]
1	KOL0007	742215 Kathrein	110	40,80	11534*	LTE 1800 LTE 2100	0,0 - 10,0 0,0 - 10,0	3,0 3,0
2		742215 Kathrein	110	40,80	11534*	LTE 1800 LTE 2100	0,0 - 10,0 0,0 - 10,0	3,0 3,0
3		80010306v02 Kathrein	110	36,50	2985*	UMTS 900	0,5 - 9,5	3,0
4		A794516R0 Huawei	110	36,50	3097*	LTE 800	0,0 - 12,0	3,0
5		ADU4521R0v06 Huawei	110	40,80	20000*	LTE 2600 LTE 2600	0,0 - 6,0 0,0 - 6,0	3,0 3,0
6		AIR 3278 Ericsson	110	40,80	10192*	NR 3500	4,0 - 9,0	4,0
7		742215 Kathrein	230	40,80	11534*	LTE 1800 LTE 2100	0,0 - 10,0 0,0 - 10,0	3,0 3,0
8		742215 Kathrein	230	40,80	11534*	LTE 1800 LTE 2100	0,0 - 10,0 0,0 - 10,0	3,0 3,0
9		80010306v02 Kathrein	230	36,50	2985*	UMTS 900	0,5 - 9,5	3,0
10		A794516R0 Huawei	230	36,50	3097*	LTE 800	0,0 - 12,0	3,0
11		ADU4521R0v06 Huawei	230	40,80	20000*	LTE 2600 LTE 2600	0,0 - 6,0 0,0 - 6,0	3,0 3,0
12		AIR 3278 Ericsson	230	40,80	10192*	NR 3500	4,0 - 9,0	4,0
13		742215 Kathrein	350	40,80	11534*	LTE 1800 LTE 2100	0,0 - 10,0 0,0 - 10,0	3,0 3,0
14		742215 Kathrein	350	40,80	11534*	LTE 2100 LTE 1800	0,0 - 10,0 0,0 - 10,0	3,0 3,0
15		80010306v02 Kathrein	350	36,50	2985*	UMTS 900	0,5 - 9,5	3,0
16		A794516R0 Huawei	350	36,50	3097*	LTE 800	0,0 - 12,0	3,0
17		ADU4521R0v06 Huawei	350	40,80	20000*	LTE 2600 LTE 2600	0,0 - 6,0 0,0 - 6,0	3,0 3,0
18		AIR 3278 Ericsson	350	40,80	10192*	NR 3500	4,0 - 9,0	4,0

* moc EIRP łączna dla wszystkich częstotliwości anteny

Warunki pomiarów

Pomiary w wyznaczonych punktach wykonano w następujących warunkach:

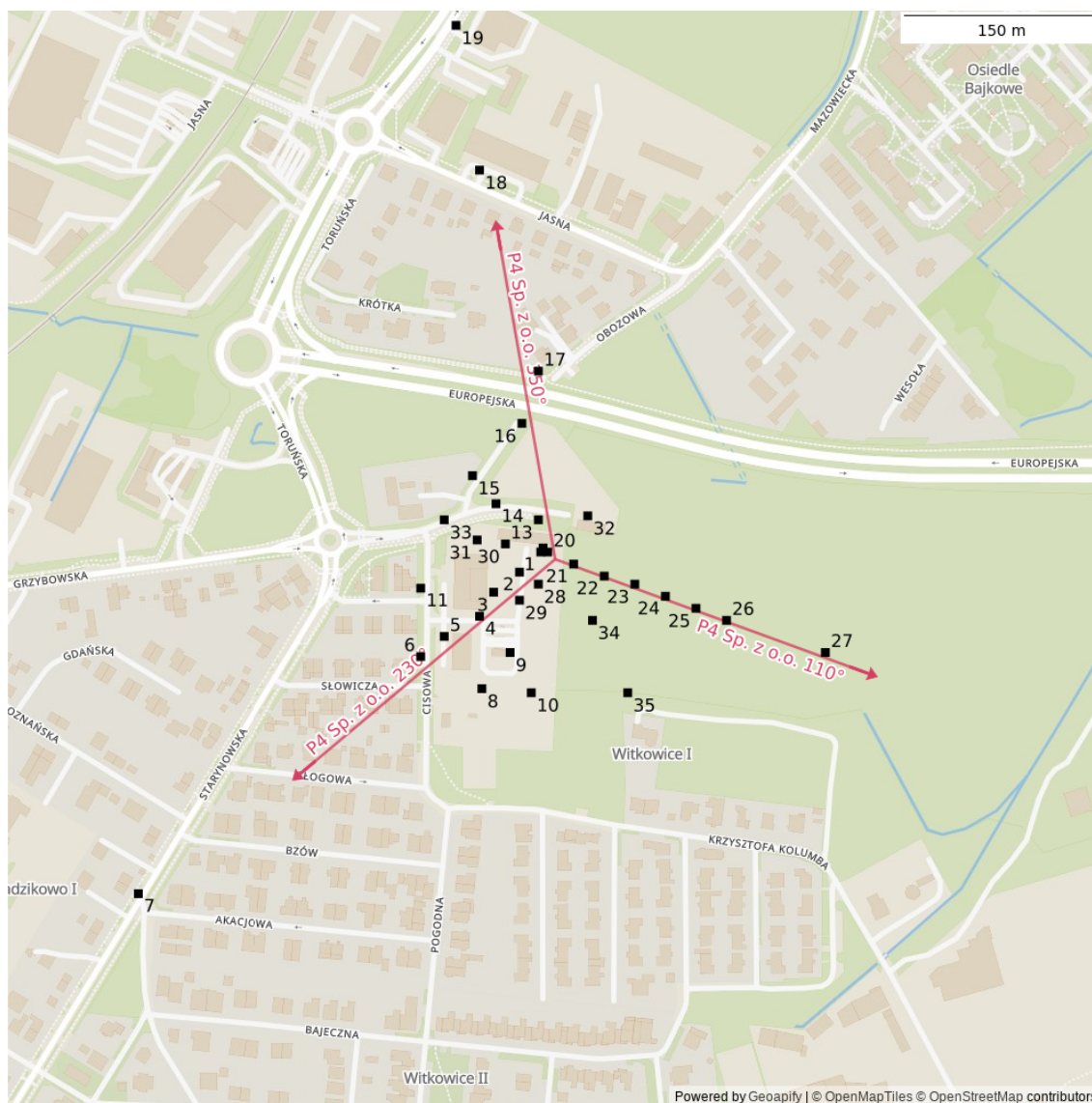
31.01.2024 15:30-17:00			
Warunki środowiskowe	Temperatura [°C]	Wilgotność [%]	Opady
Minimalna	5,0	80,0	brak
Maksymalna	5,0	80,0	

Aparatura

Tabela 2: Aparatura

MIERNIKI I SONDY					
Lp.	Typ / Nazwa	Model	Producent	Próg detekcji	Świadectwo wzorcowania
1a	miernik	NBM-520	Narda		LWiMP/W/336/23 z dn. 07.09.2023 wydane przez Politechnika Wrocławską Laboratorium Wzorców i Metrologii Pola Elektromagnetycznego
1b	sonda	EF-6092	Narda	0,70	
POZOSTAŁE					
Lp.	Typ / Nazwa	Model	Producent	Świadectwo wzorcowania	
2	termohigrometr	8703	AZ instrument Corp.	WW/18100705.1/18 z dn. 23.05.2018 wydane przez LabStand Laboratorium Pehametrii i Wiskozymetrii	

Lokalizacje pionów pomiarowych



Rysunek 1: Plan terenu

Wyniki pomiarów szerokopasmowych

Tabela 3: Zestawienie lokalizacji pionów pomiarowych oraz wyników pomiarów natężenia pola elektrycznego, pomiary szerokopasmowe

Nazwa	Data	Współrzędne geograficzne	E	WM _E	H	WM _H
		[°]	[$\frac{V}{m}$]		[$\frac{A}{m}$]	
1	31.01.2024	15,5526667 54,1622500	2,48	0,089	0,007	0,090
2	31.01.2024	15,5524167 54,1621111	2,48	0,089	0,007	0,090
3	31.01.2024	15,5521111 54,1619722	2,23	0,080	0,006	0,081

Ciąg dalszy na następnej stronie

Tabela 3: Zestawienie lokalizacji pionów pomiarowych oraz wyników pomiarów natężenia pola elektrycznego, pomiary szerokopasmowe (c.d.)

Nazwa	Data	Współrzędne geograficzne	E	WM _E	H	WM _H
		[°]	[$\frac{V}{m}$]		[$\frac{A}{m}$]	
4	31.01.2024	15,5519444 54,1618056	2,73	0,098	0,007	0,099
5	31.01.2024	15,5515278 54,1616667	2,85	0,102	0,008	0,104
6	31.01.2024	15,5512500 54,1615278	1,24	0,044	0,003	0,045
7	31.01.2024	15,5479167 54,1598889	< 0,87	< 0,031	< 0,002	< 0,032
8	31.01.2024	15,5519722 54,1613056	2,23	0,080	0,006	0,081
9	31.01.2024	15,5523056 54,1615556	1,92	0,069	0,005	0,070
10	31.01.2024	15,5525556 54,1612778	2,24	0,080	0,006	0,081
11	31.01.2024	15,5512500 54,1620000	1,13	0,040	0,003	0,041
12	31.01.2024	15,5526944 54,1622778	2,05	0,073	0,005	0,074
13	31.01.2024	15,5526389 54,1624722	1,74	0,062	0,005	0,063
14	31.01.2024	15,5521389 54,1625833	1,66	0,059	0,004	0,060
15	31.01.2024	15,5518611 54,1627778	1,24	0,044	0,003	0,045
16	31.01.2024	15,5524444 54,1631389	1,24	0,044	0,003	0,045
17	31.01.2024	15,5526389 54,1635000	1,22	0,044	0,003	0,044
18	31.01.2024	15,5519444 54,1648889	< 0,87	< 0,031	< 0,002	< 0,032
19	31.01.2024	15,5516667 54,1658889	< 0,87	< 0,031	< 0,002	< 0,032
20	31.01.2024	15,5527500 54,1622500	2,48	0,089	0,007	0,090
21	31.01.2024	15,5530556 54,1621667	2,73	0,098	0,007	0,099
22	31.01.2024	15,5534167 54,1620833	3,10	0,111	0,008	0,113
23	31.01.2024	15,5537778 54,1620278	2,60	0,093	0,007	0,094
24	31.01.2024	15,5541389 54,1619444	2,48	0,089	0,007	0,090

Ciąg dalszy na następnej stronie

Tabela 3: Zestawienie lokalizacji pionów pomiarowych oraz wyników pomiarów natężenia pola elektrycznego, pomiary szerokopasmowe (c.d.)

Nazwa	Data	Współrzędne geograficzne	E	WM _E	H	WM _H
		[°]	[$\frac{V}{m}$]		[$\frac{A}{m}$]	
25	31.01.2024	15,5545000 54,1618611	2,48	0,089	0,007	0,090
26	31.01.2024	15,5548611 54,1617778	2,98	0,106	0,008	0,108
27	31.01.2024	15,5560278 54,1615556	2,23	0,080	0,006	0,081
28	31.01.2024	15,5526389 54,1620278	2,06	0,074	0,005	0,075
29	31.01.2024	15,5524167 54,1619167	1,98	0,071	0,005	0,072
30	31.01.2024	15,5522500 54,1623056	1,53	0,055	0,004	0,056
31	31.01.2024	15,5519167 54,1623333	1,24	0,044	0,003	0,045
32	31.01.2024	15,5532222 54,1625000	1,65	0,059	0,004	0,060
33	31.01.2024	15,5515278 54,1624722	1,36	0,049	0,004	0,049
34	31.01.2024	15,5532778 54,1617778	2,60	0,093	0,007	0,094
35	31.01.2024	15,5536944 54,1612778	2,28	0,081	0,006	0,083

Podsumowanie

Na podstawie wyników pomiarów pola elektromagnetycznego przedstawionych w niniejszym raporcie o nr U-012/22/G.SB.337.2.1 opracowanym przez TELE-COM Sp. z o.o. stwierdza się, że w otoczeniu stacji bazowej KOL0007 dopuszczalne poziomy pól elektromagnetycznych w środowisku, określone w przepisach wydanych na podstawie art. 122 ust. 1 ustawy z dnia 27 kwietnia 2001 r. – Prawo ochrony środowiska uznaje się za **dotrzymane**. Udokumentowano, że w żadnym pionie pomiarowym wartości wskaźnikowe WM_E oraz WM_H nie przekroczyły 1.

Osoby odpowiedzialne

Wykonanie pomiarów: Adam Gawin

Opracowanie sprawozdania: Adam Gawin

Autoryzacja sprawozdania: Jacek Jarzina (Osoba uprawniona do autoryzacji sprawozdań)